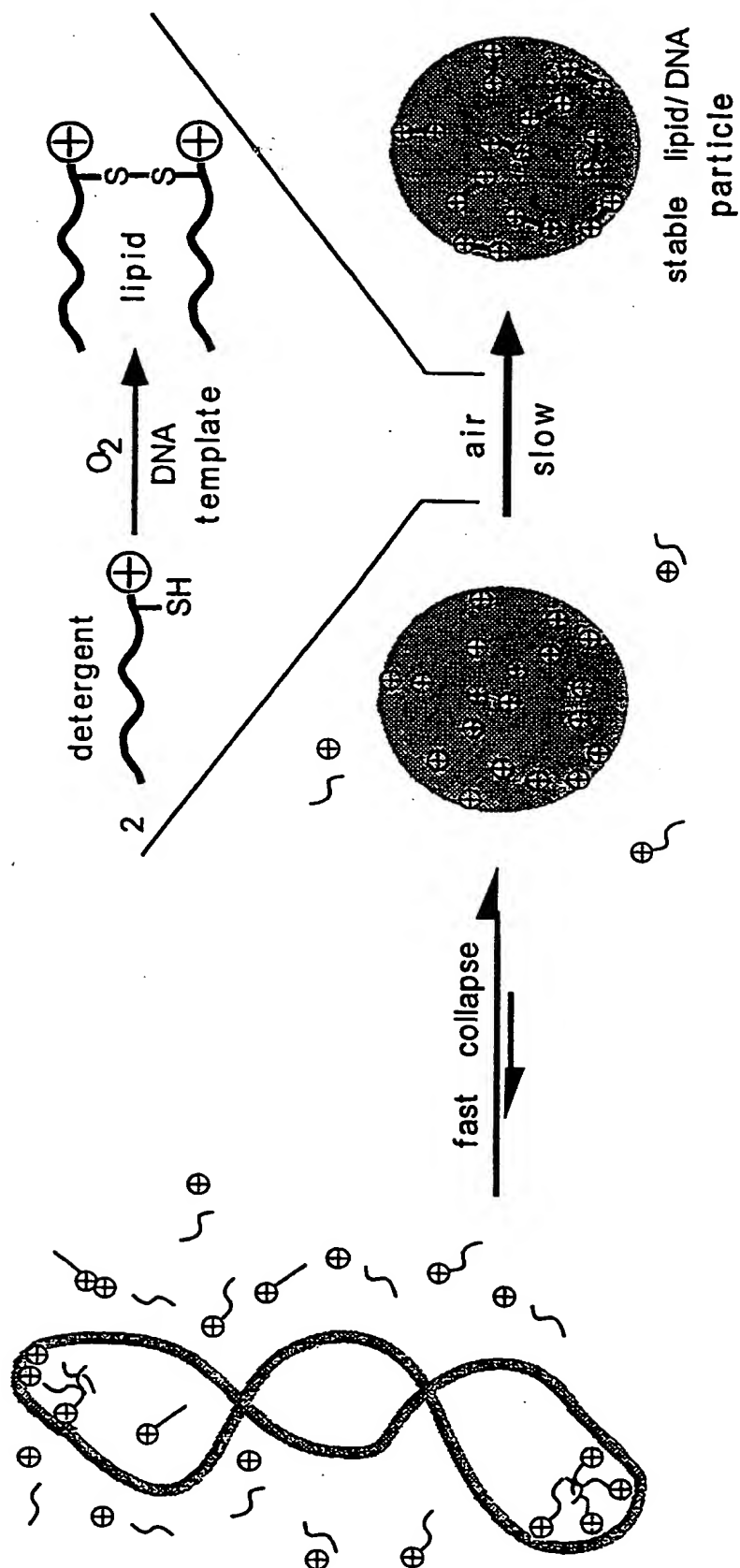
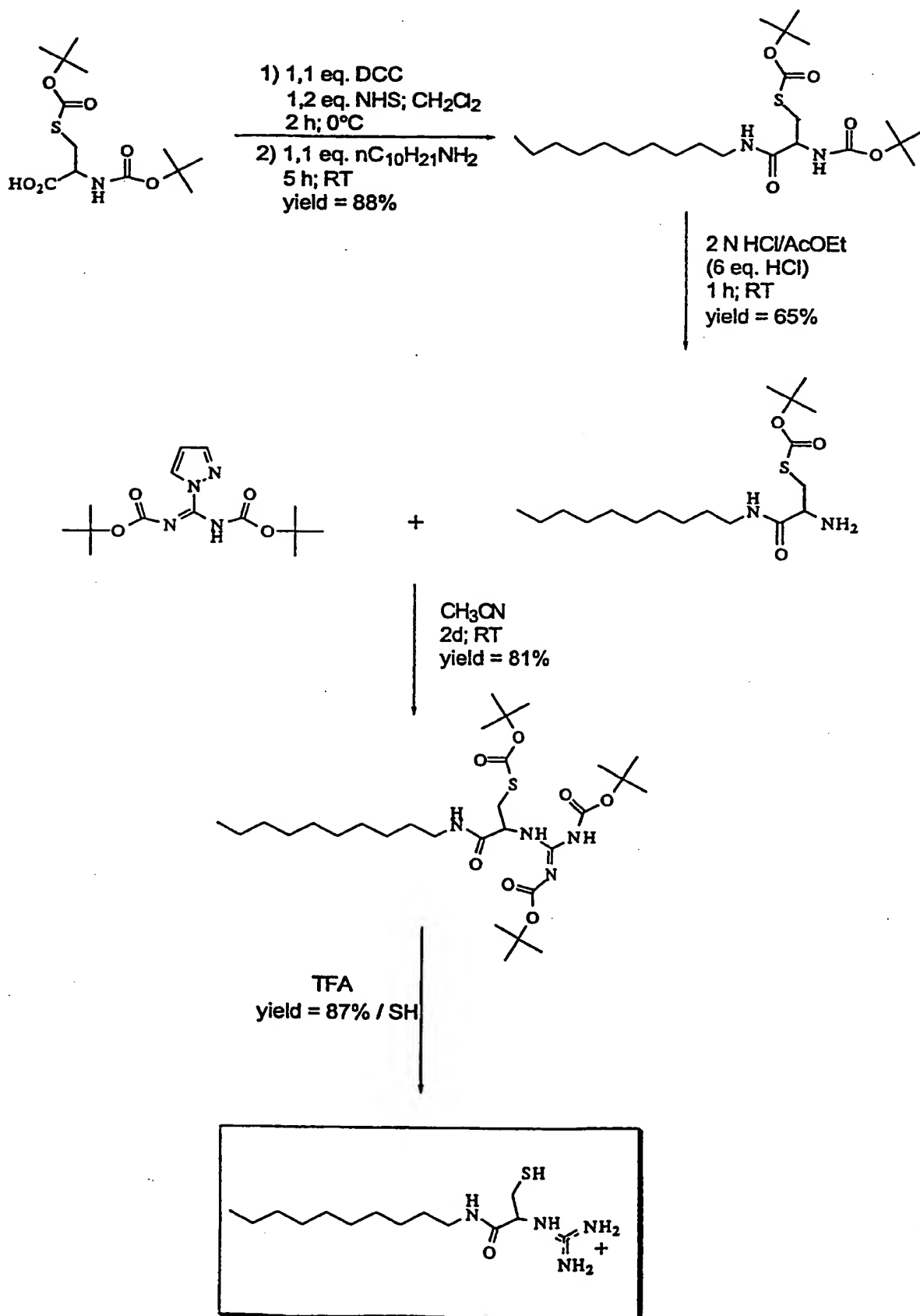
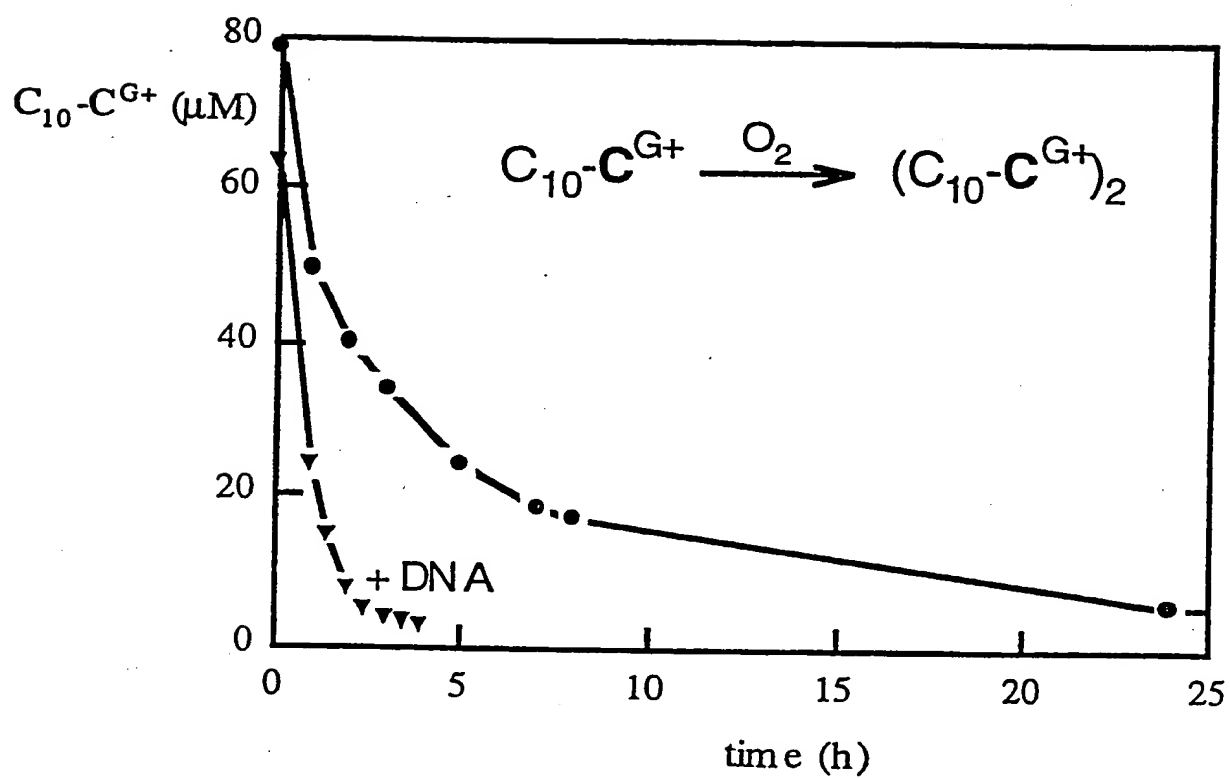
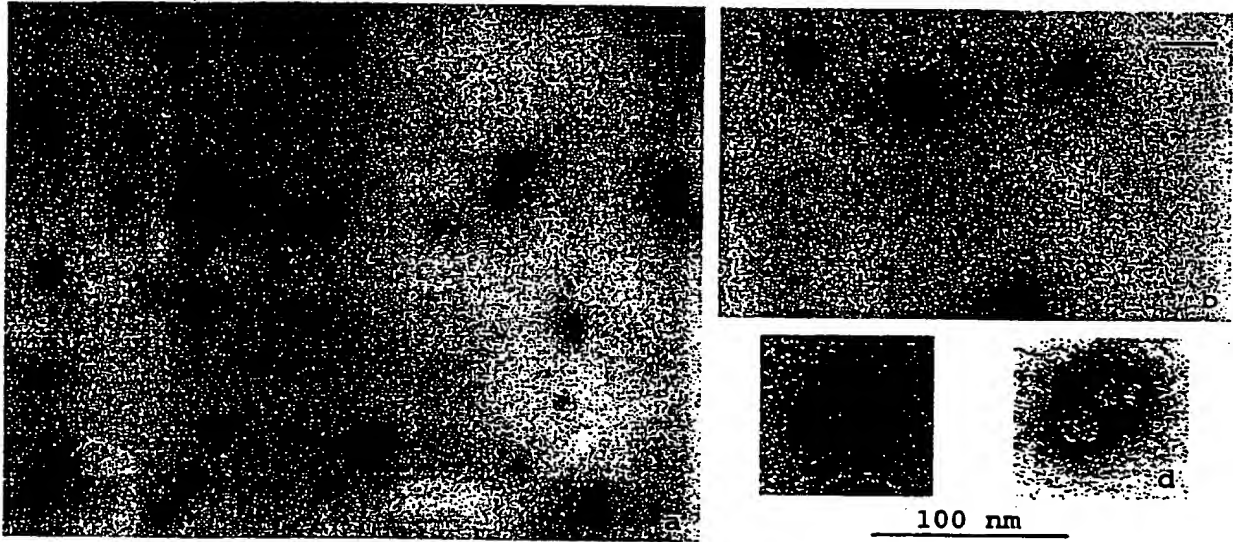


1/34
Fig. 1

2/34
Fig. 2

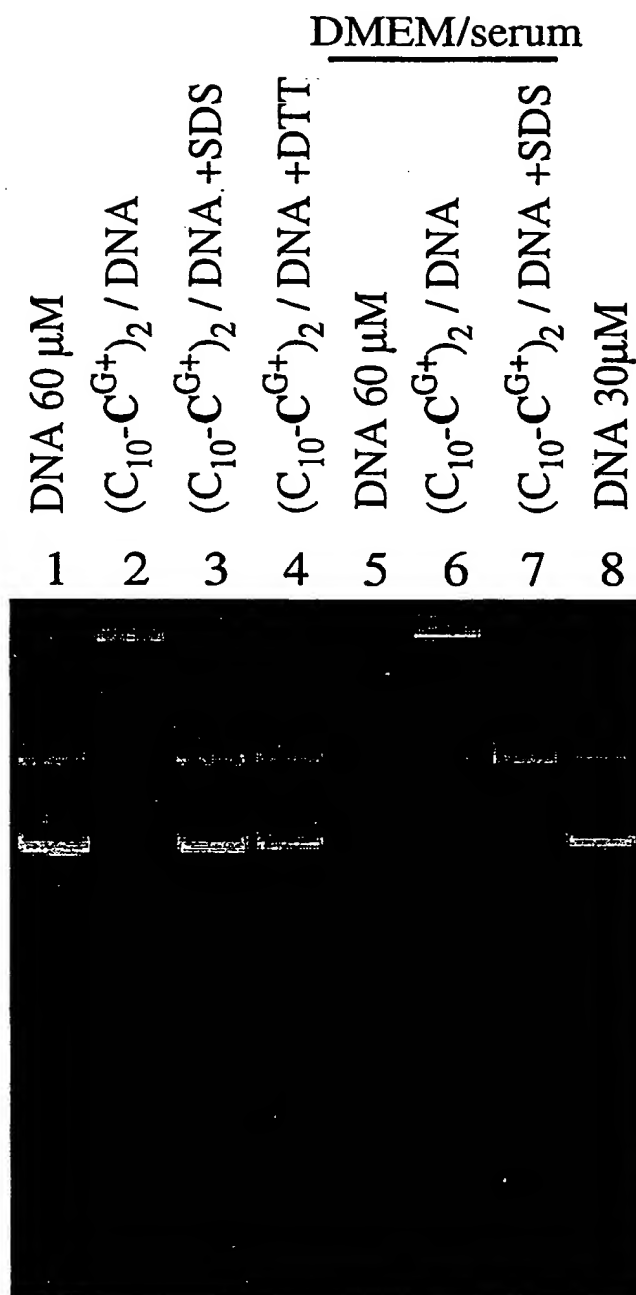
3/34
Fig. 3

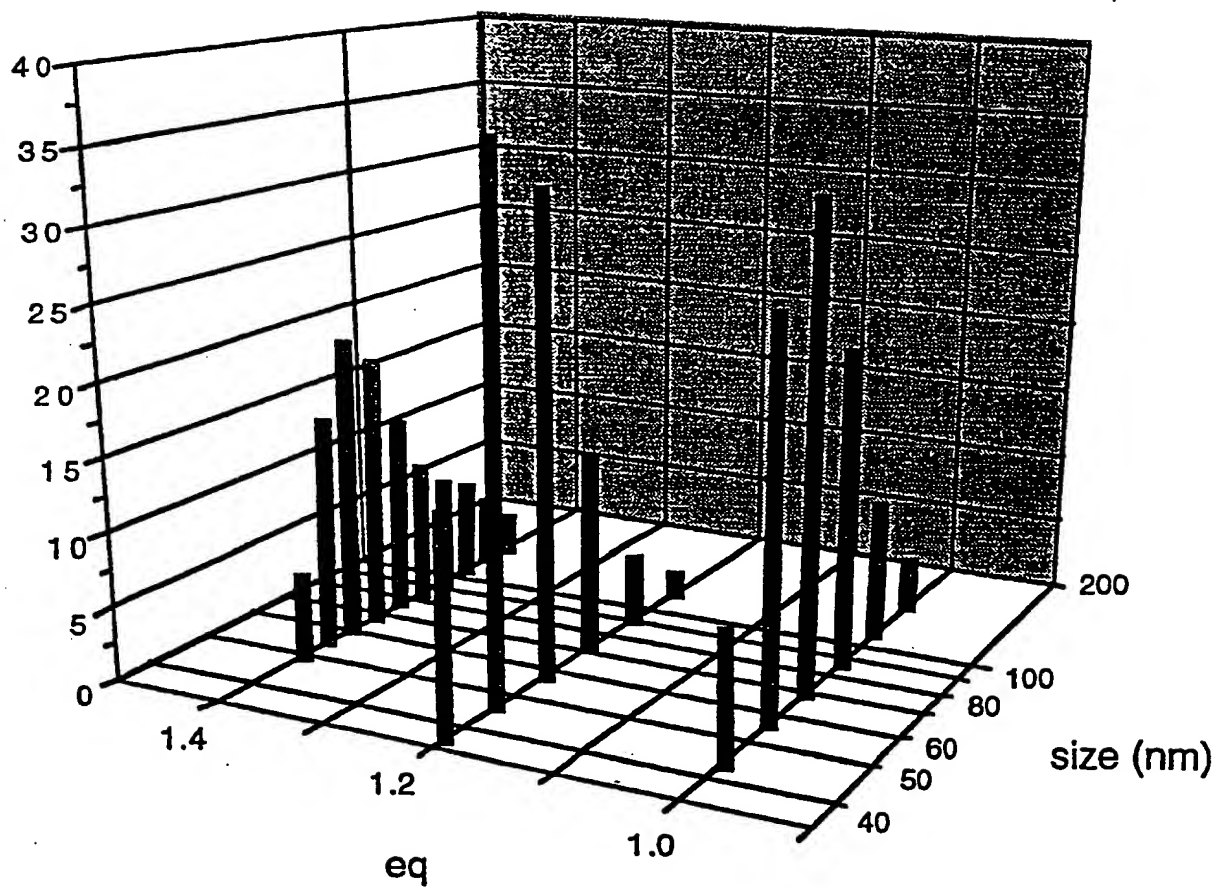
4/34
Fig. 4



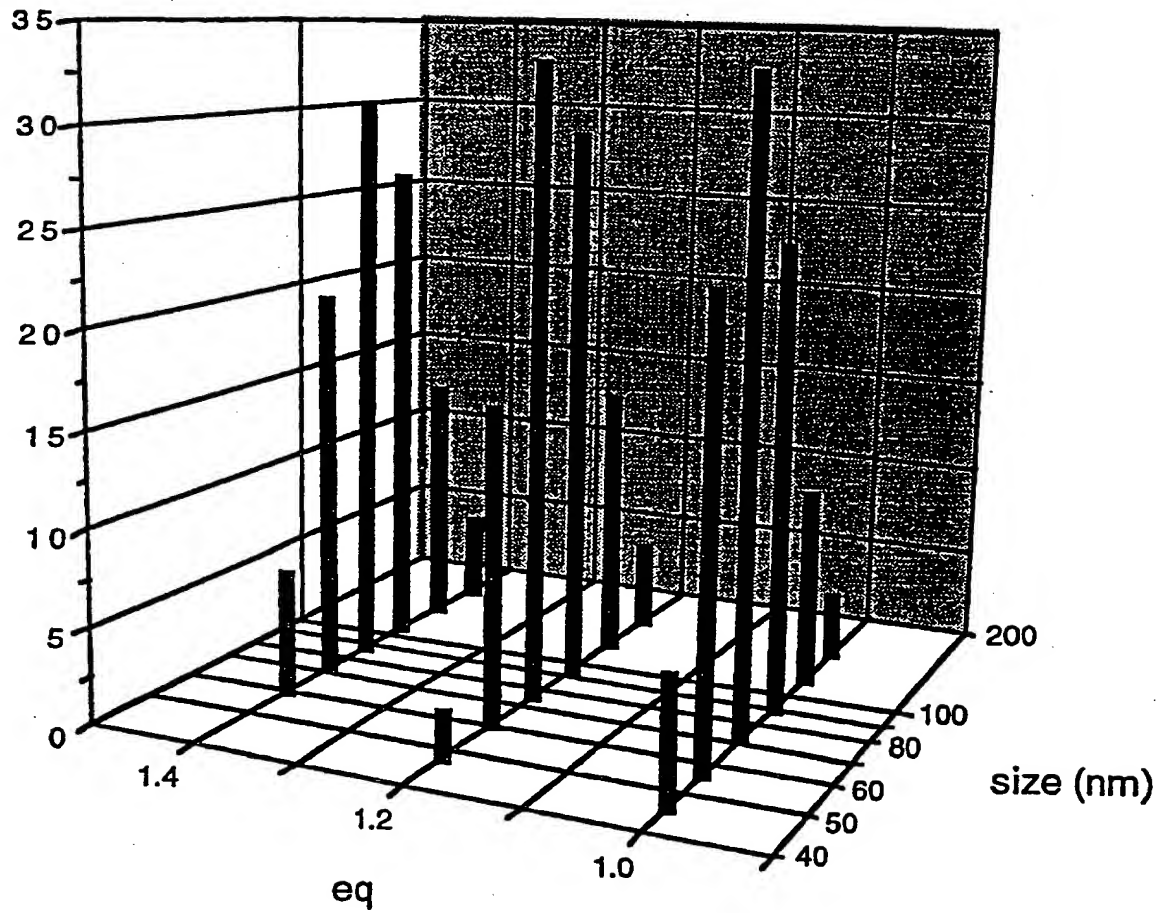
5/34

Fig. 5

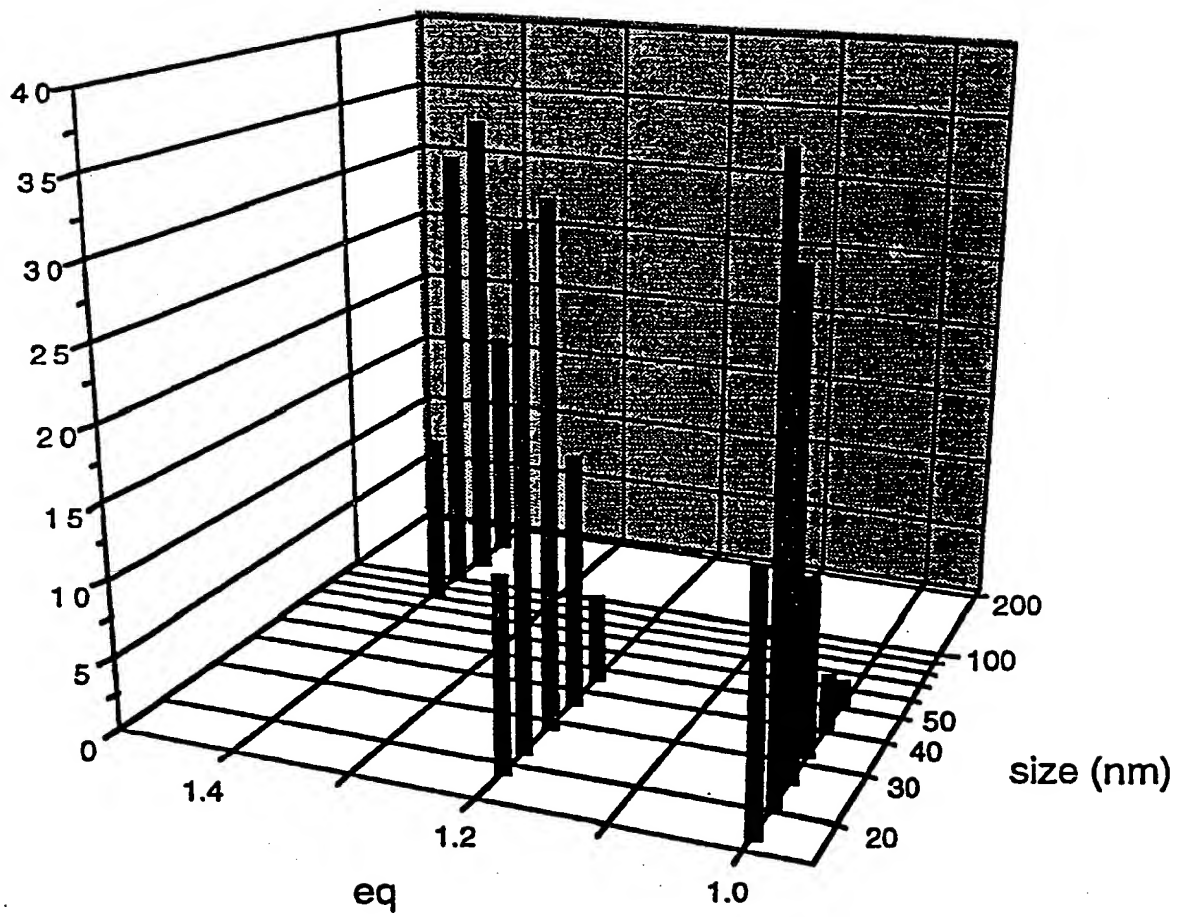




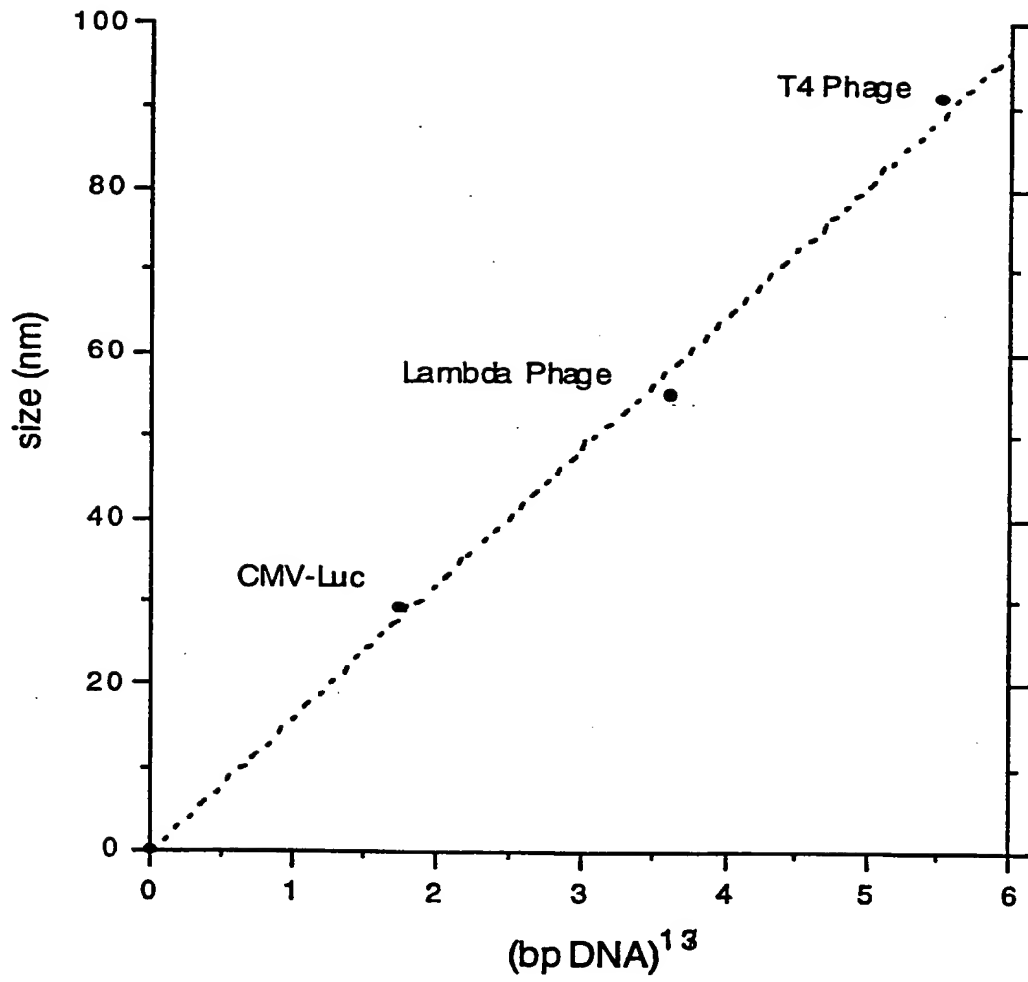
7/34
Fig. 6B



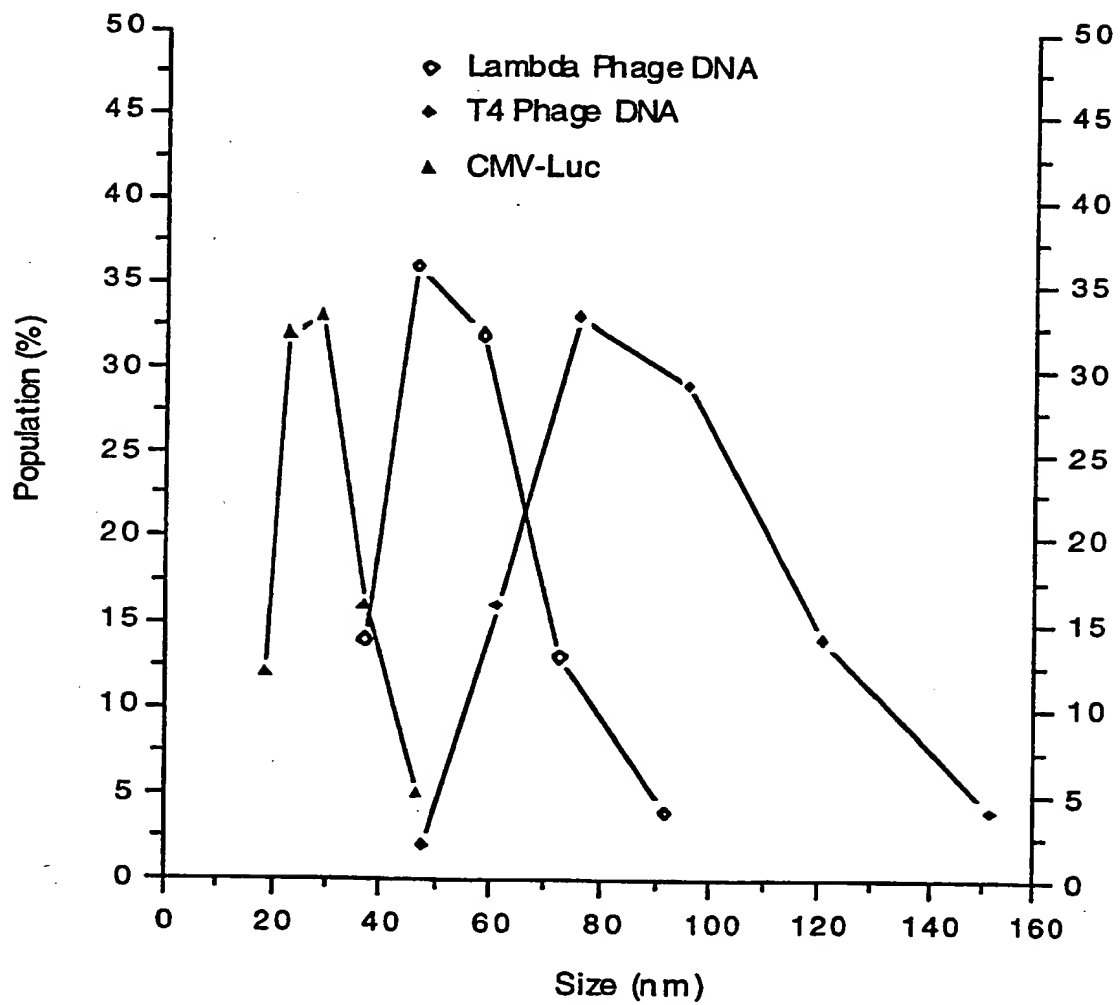
8/34
Fig. 6C



9/34
Fig. 7A



10/34
Fig. 7B



11/34
Fig. 8

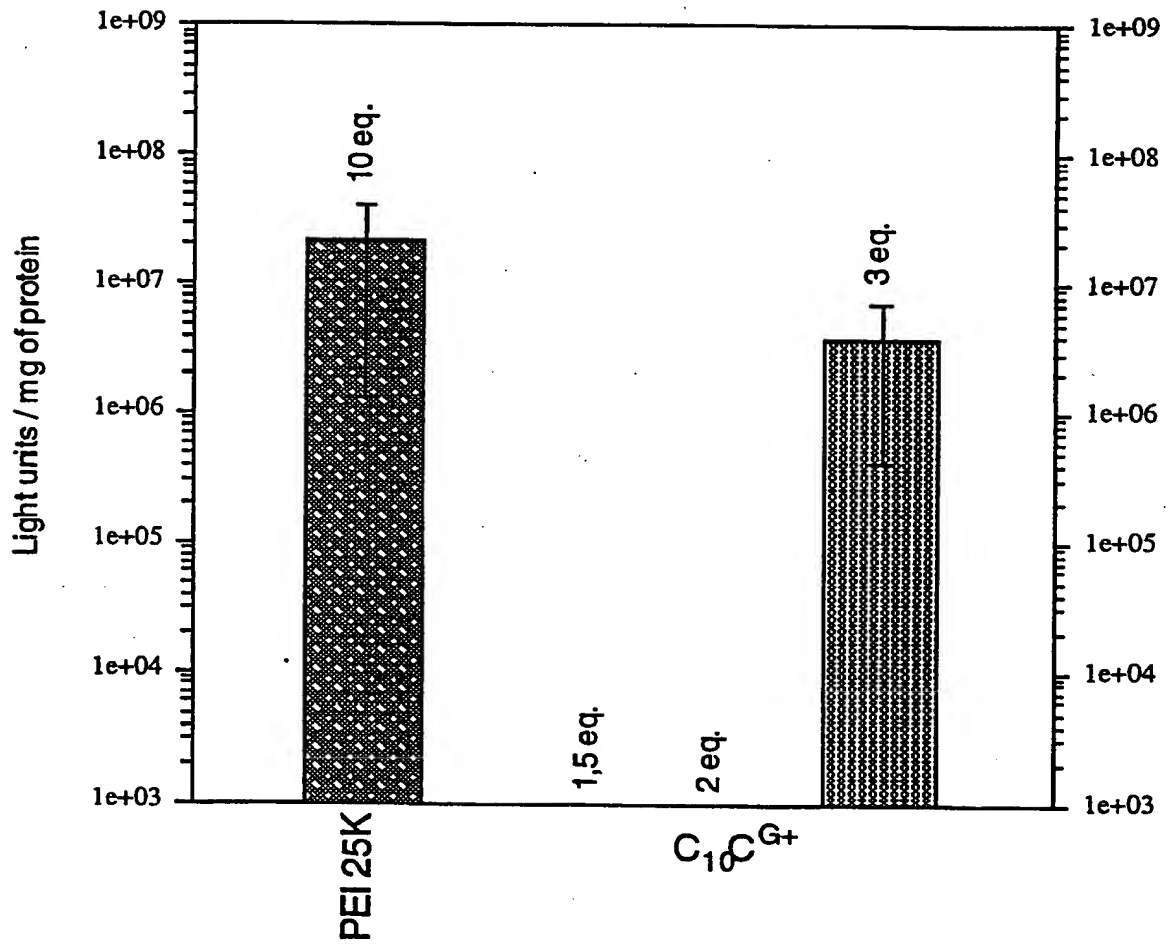
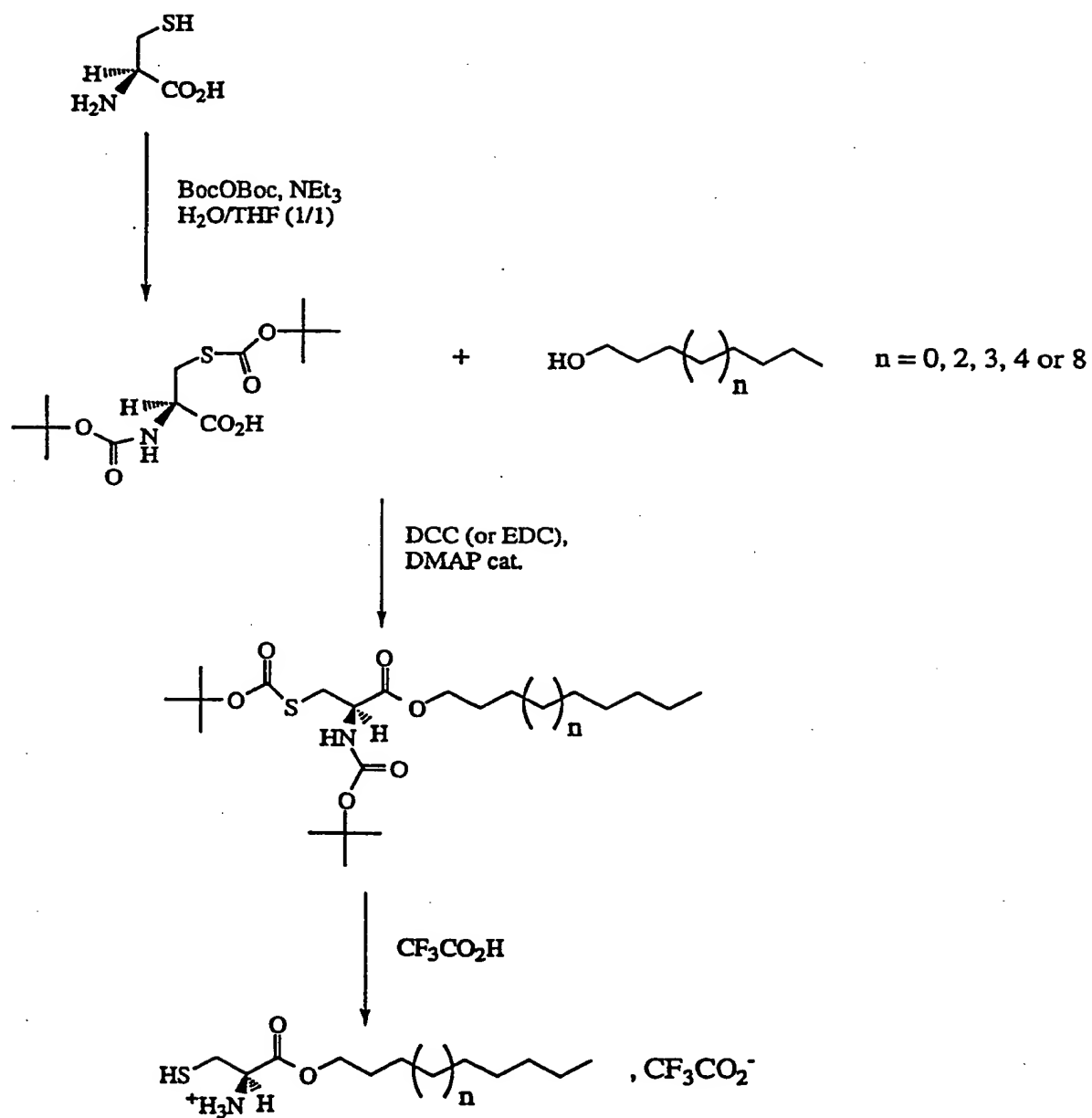
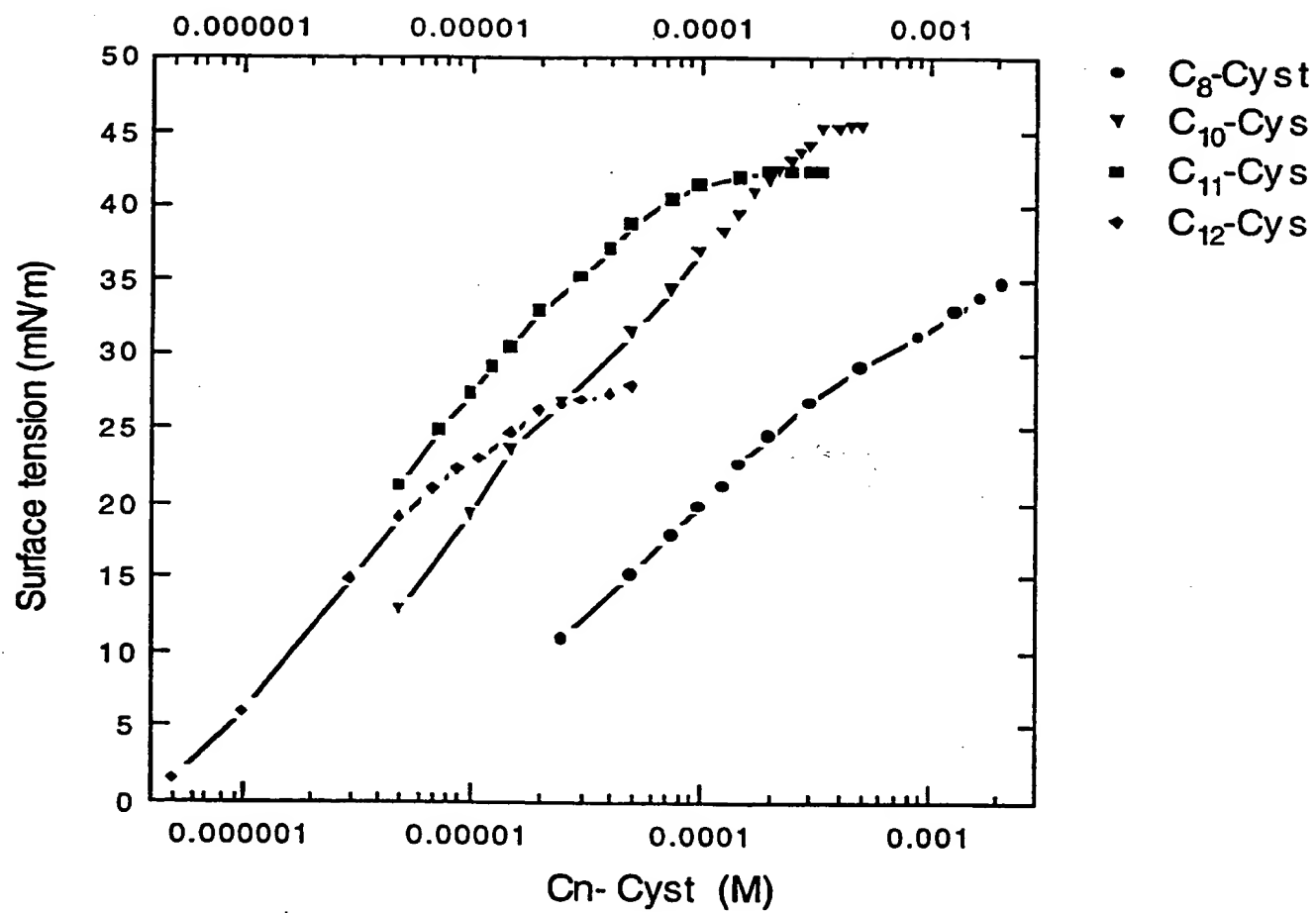


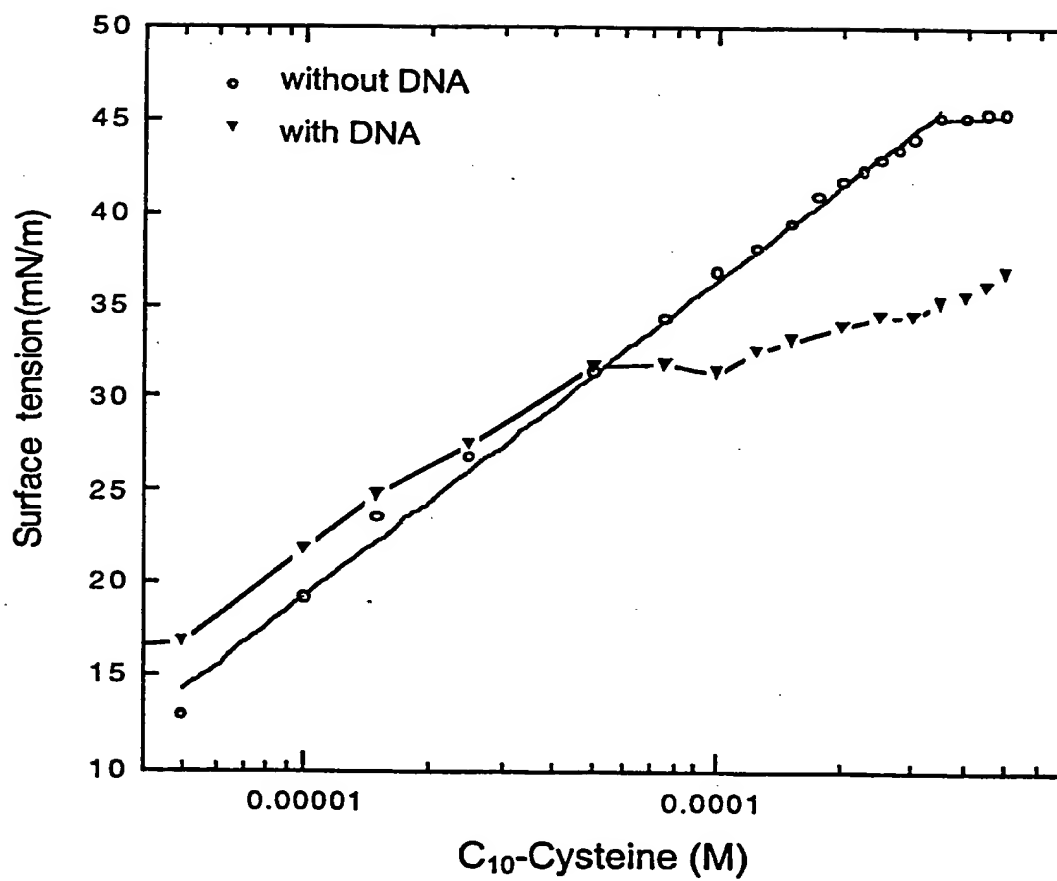
Fig. 9



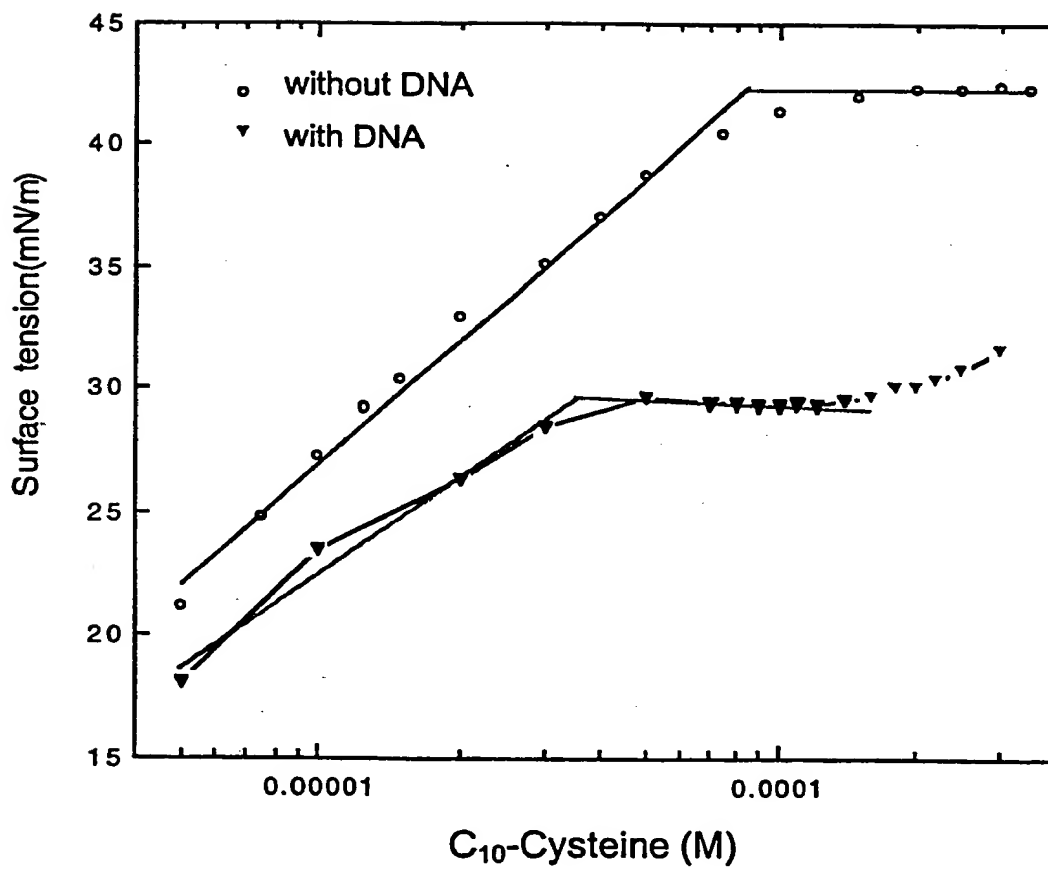
13/34
Fig. 10



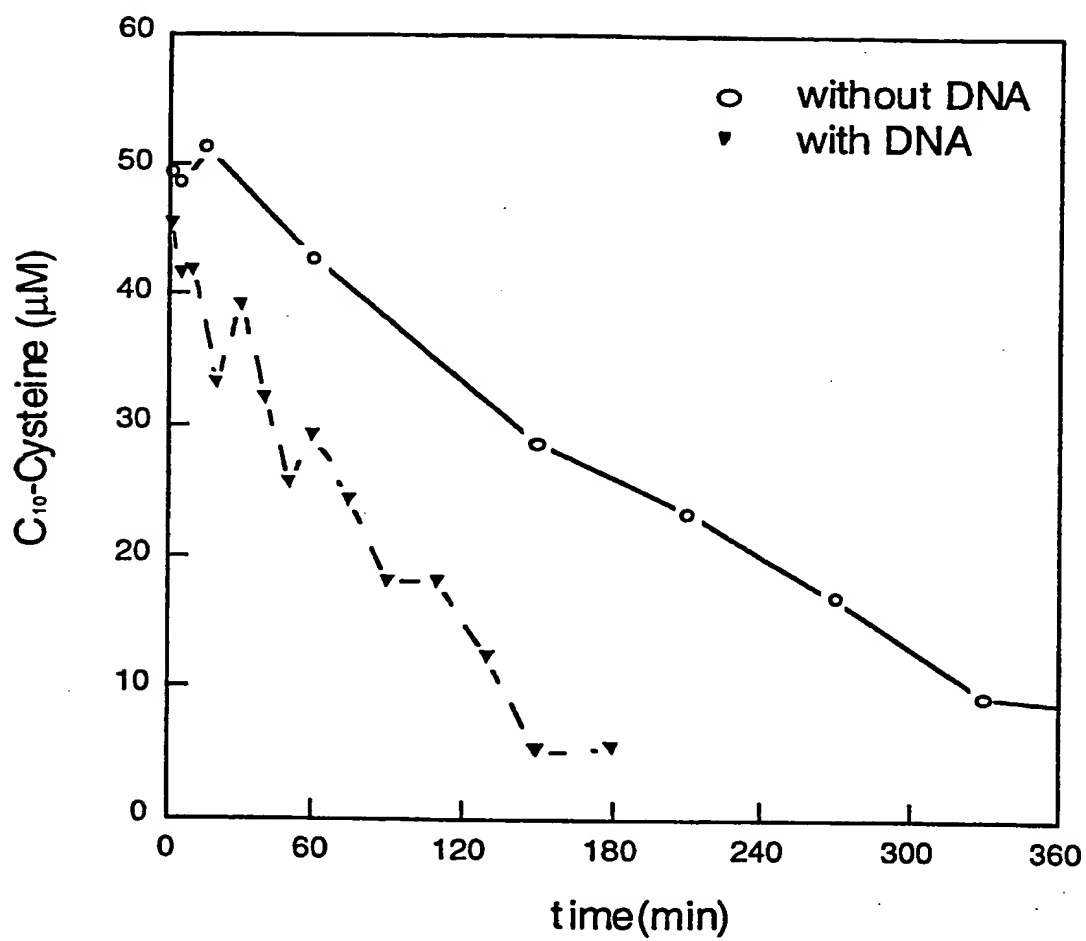
14/34
Fig. 11A

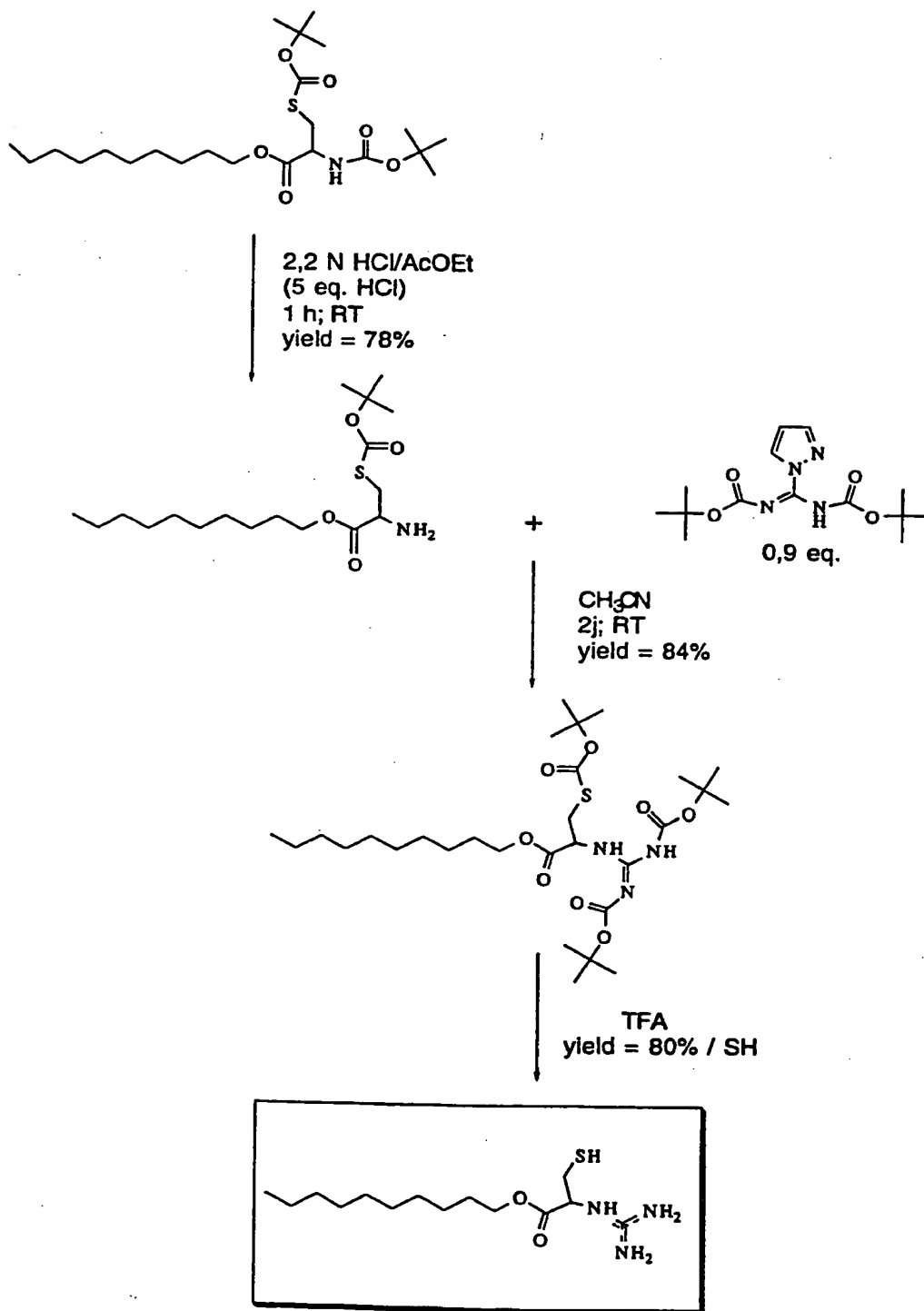


15/34
Fig. 11B



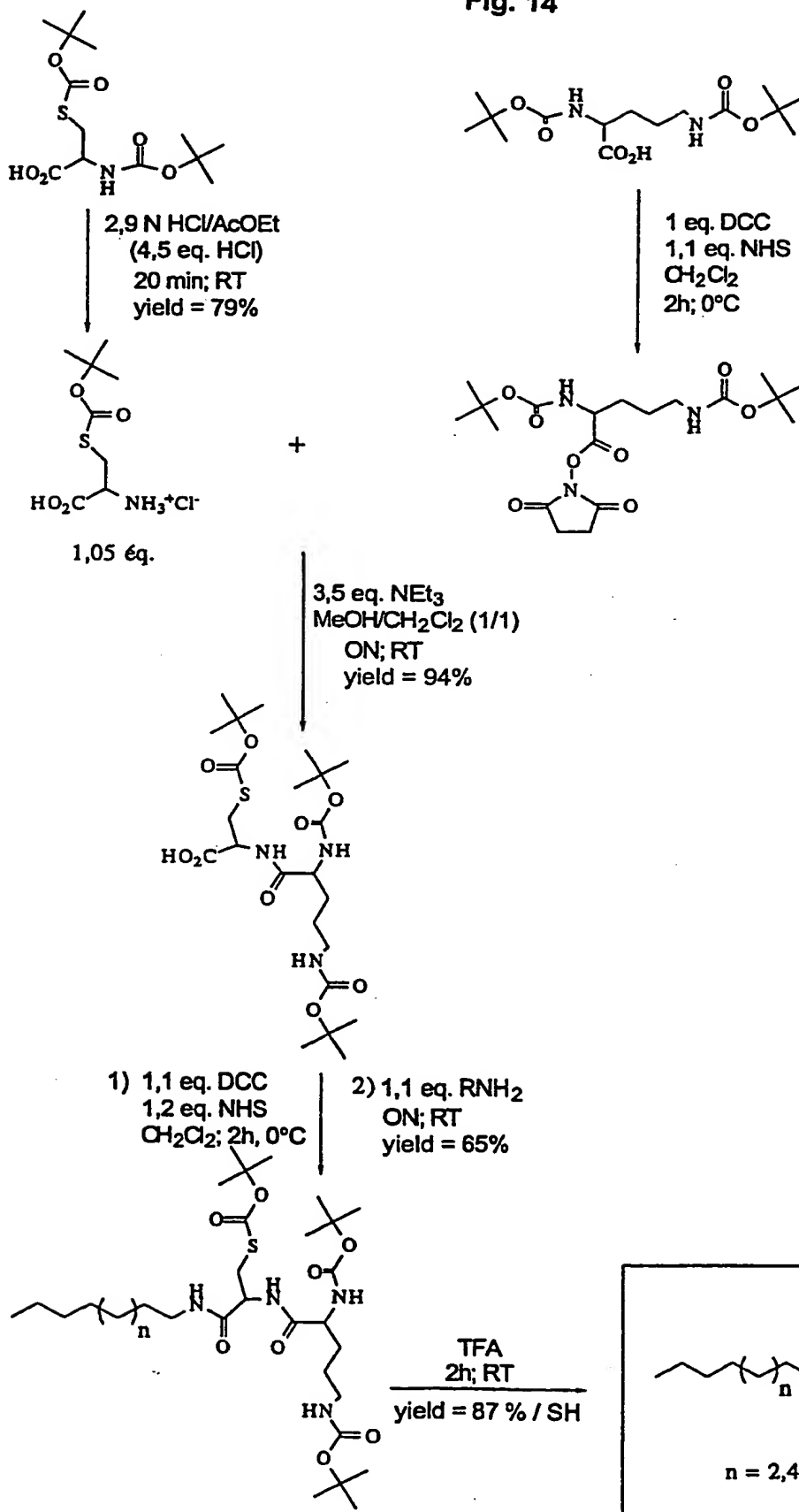
16/34
Fig. 12



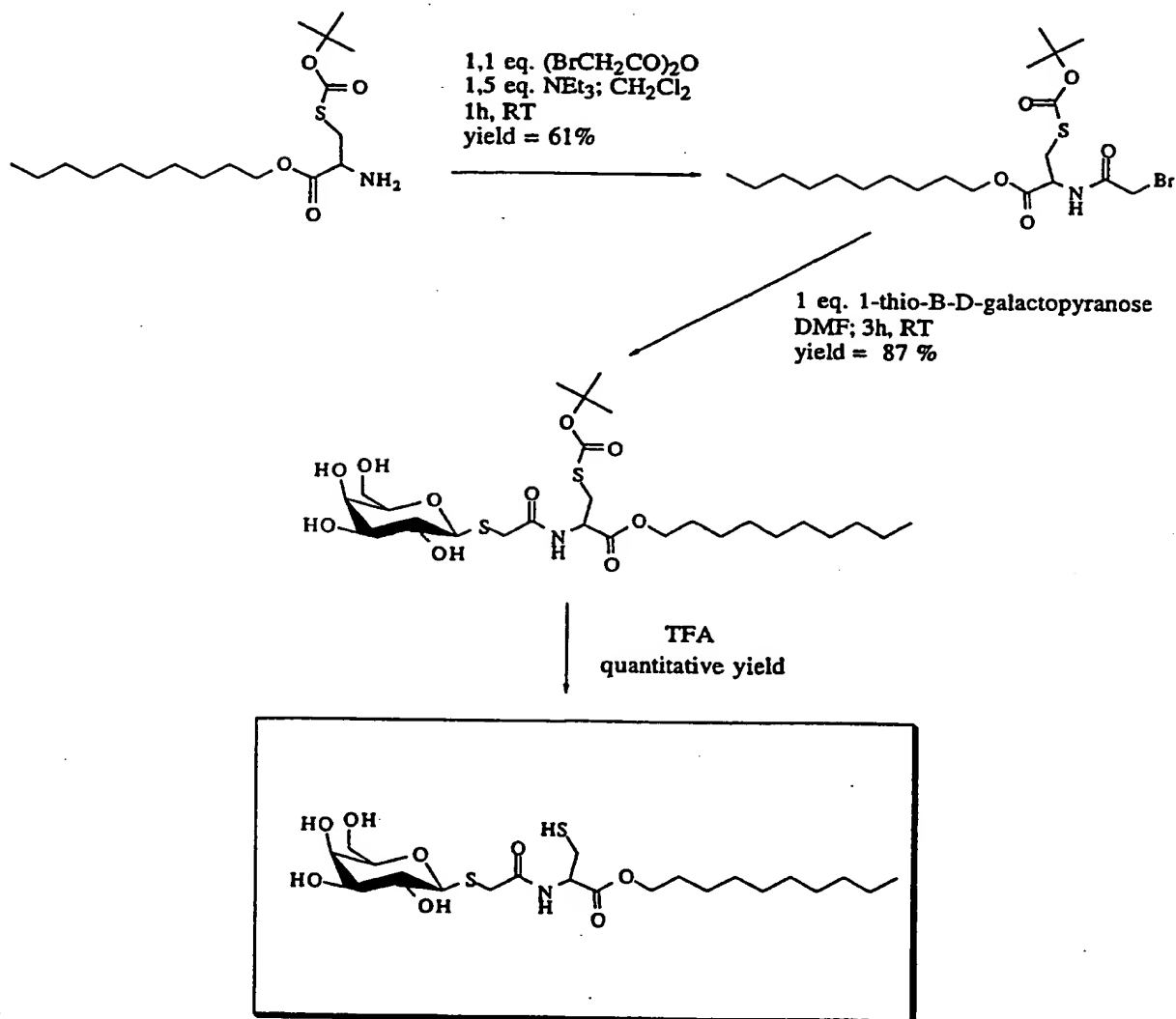
17/34
Fig. 13

18/34

Fig. 14



19/34
Fig. 15



20/34

Fig. 16A

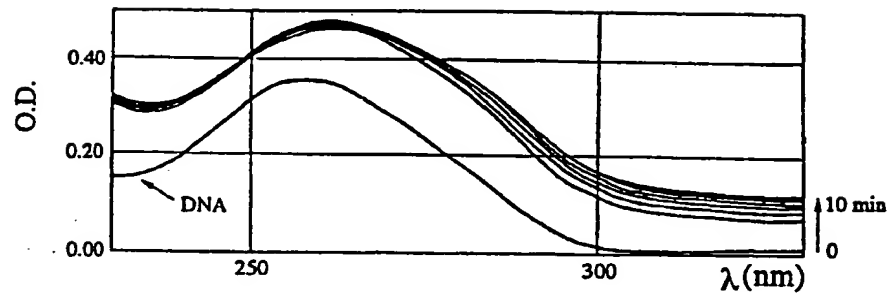


Fig. 16B

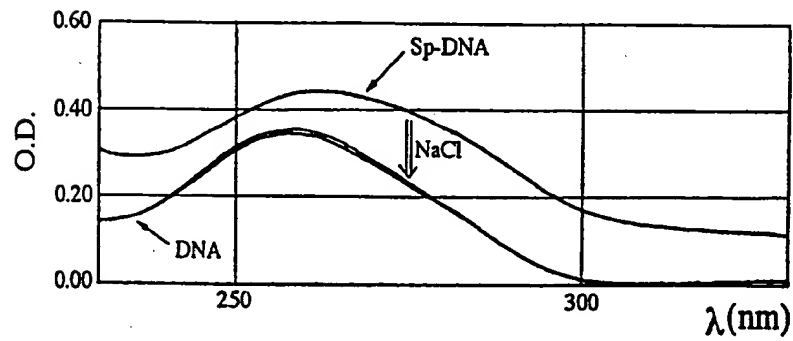
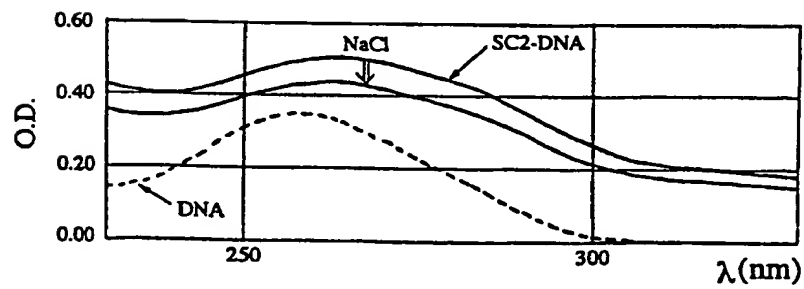
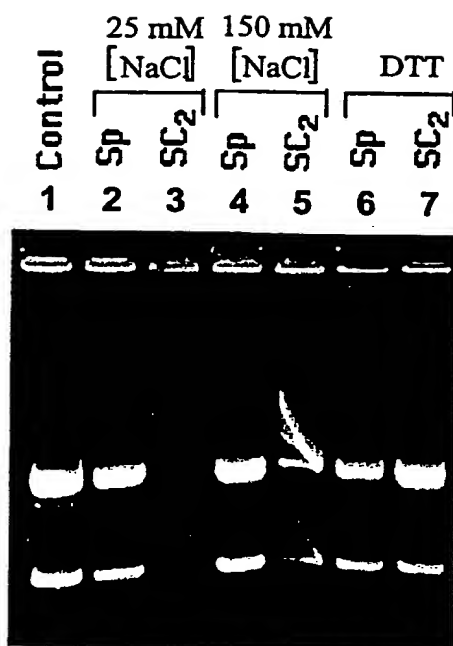


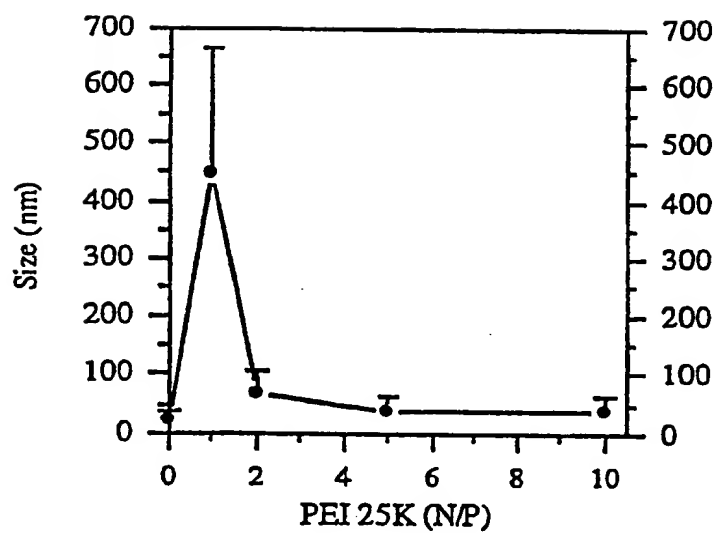
Fig. 16C



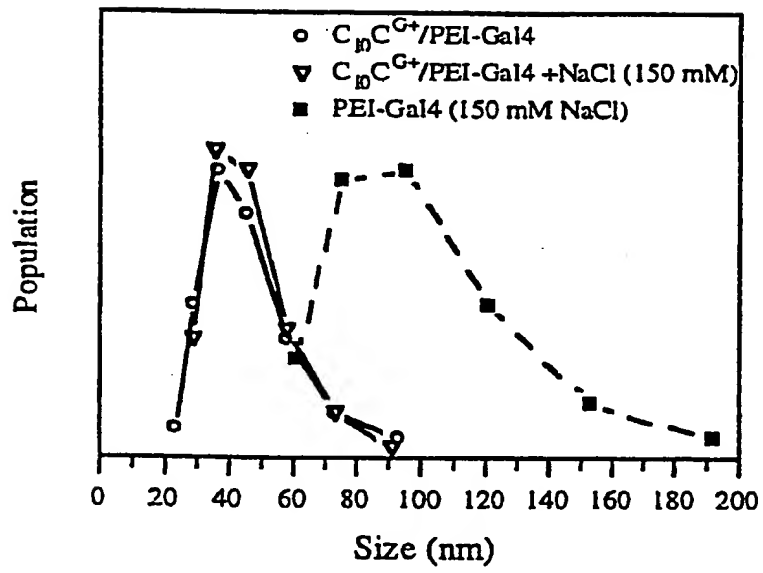
21/34
Fig. 17

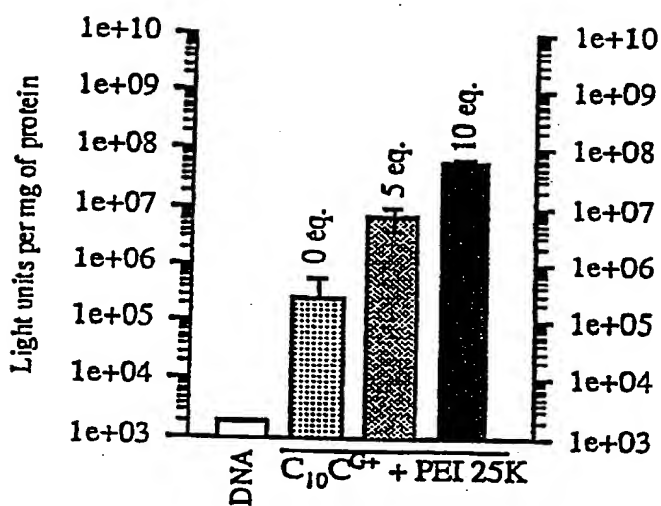


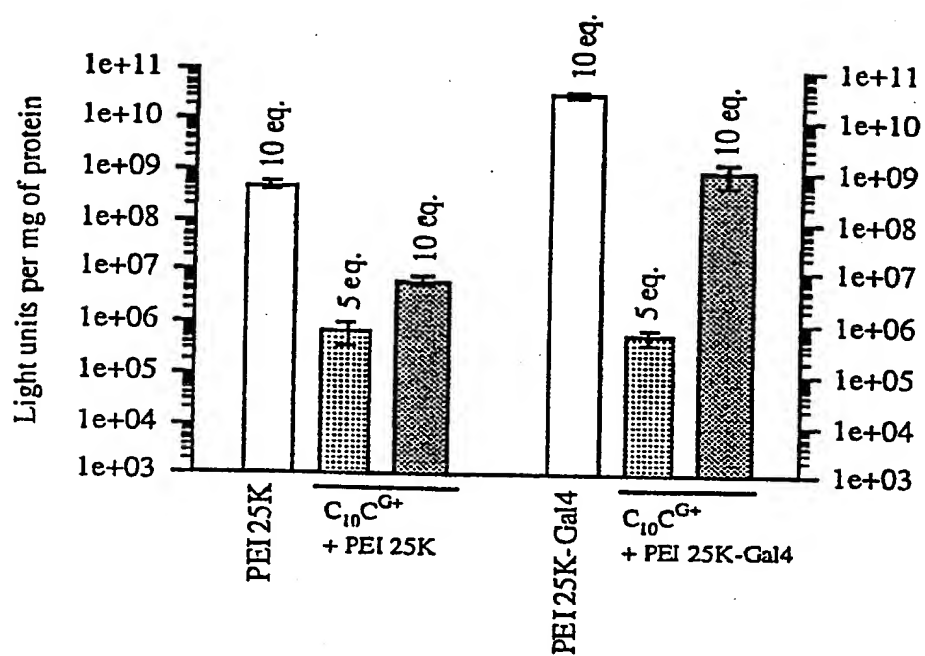
22/34
Fig. 18



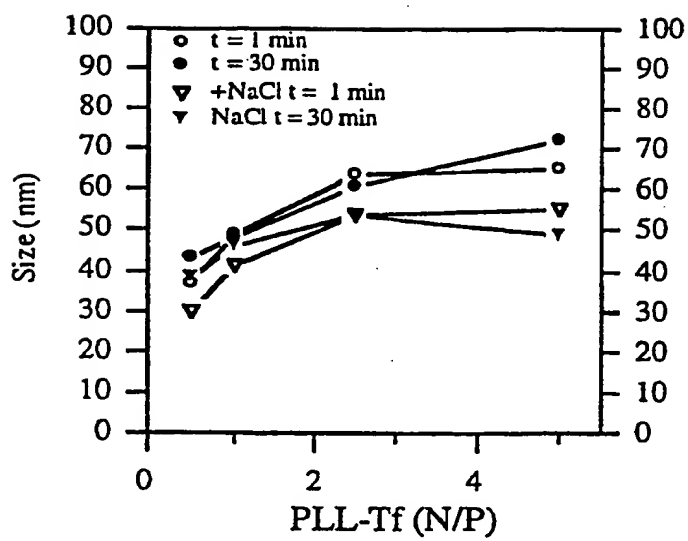
23/34
Fig. 19



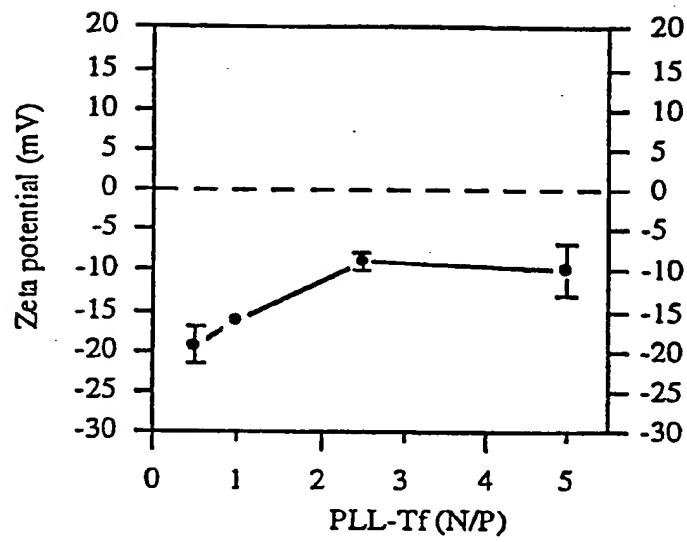
24/34
Fig. 20

25/34
Fig. 21

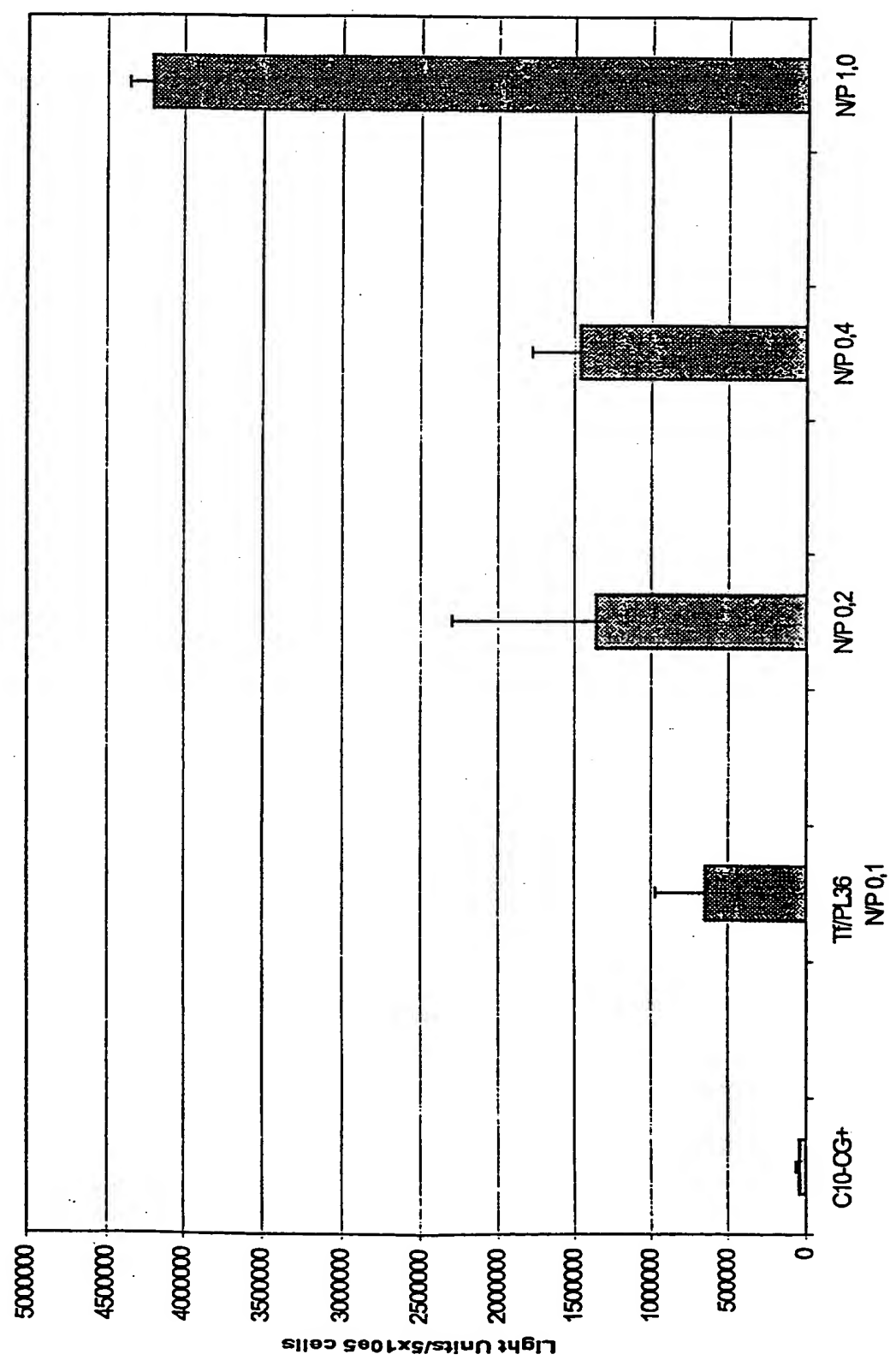
26/34
Fig. 22



27/34
Fig. 23

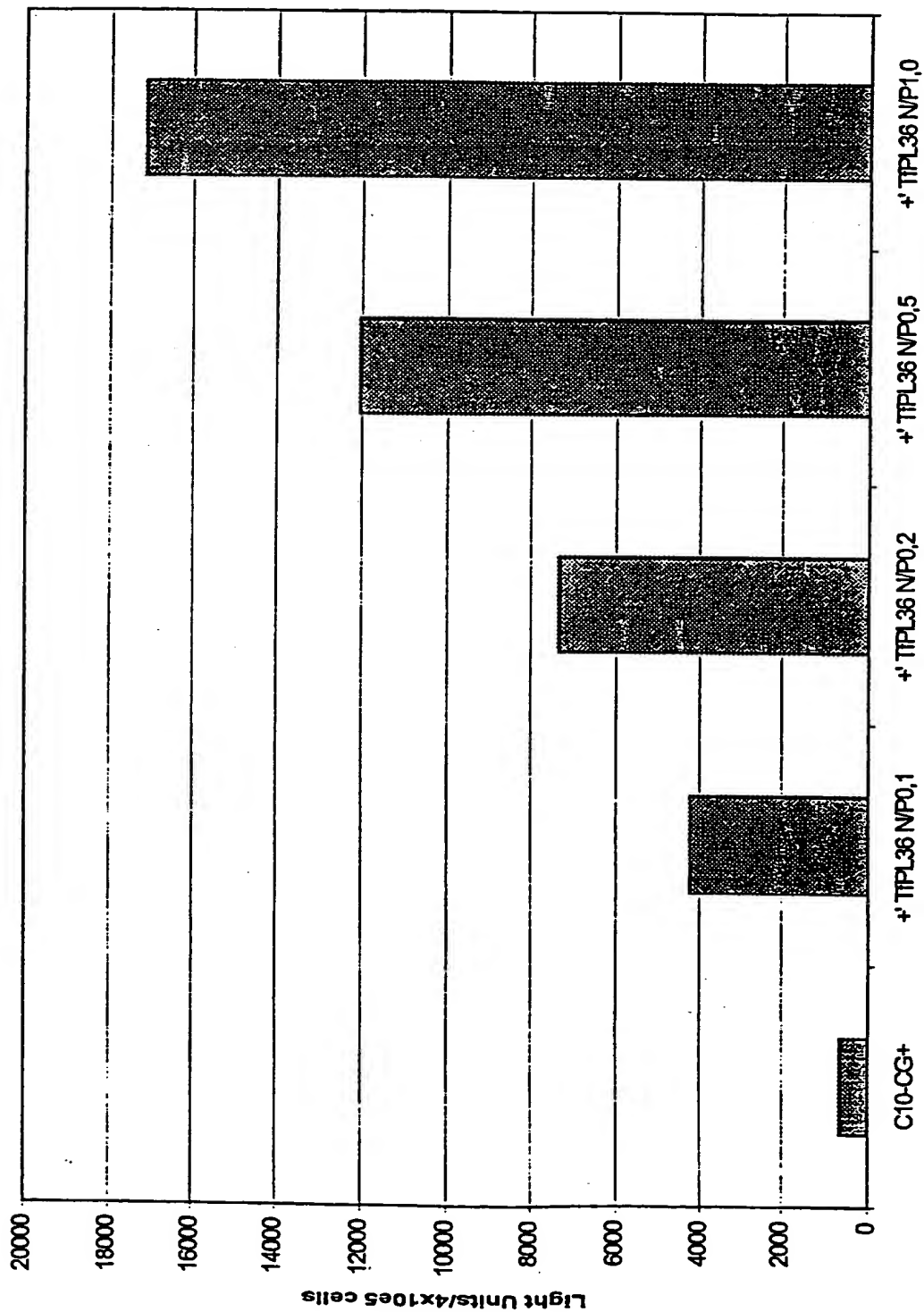


28/34
Fig. 24



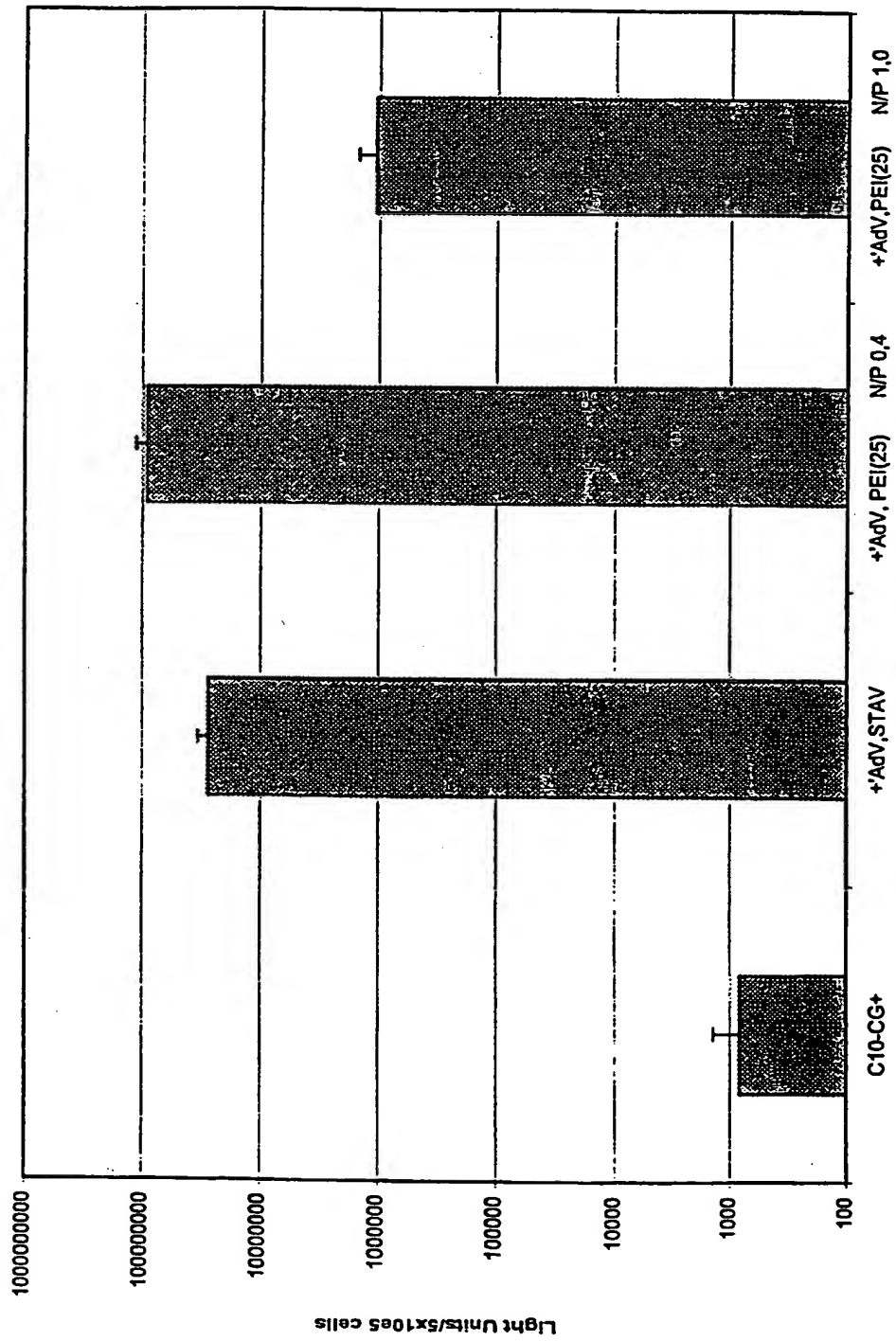
29/34

Fig. 25



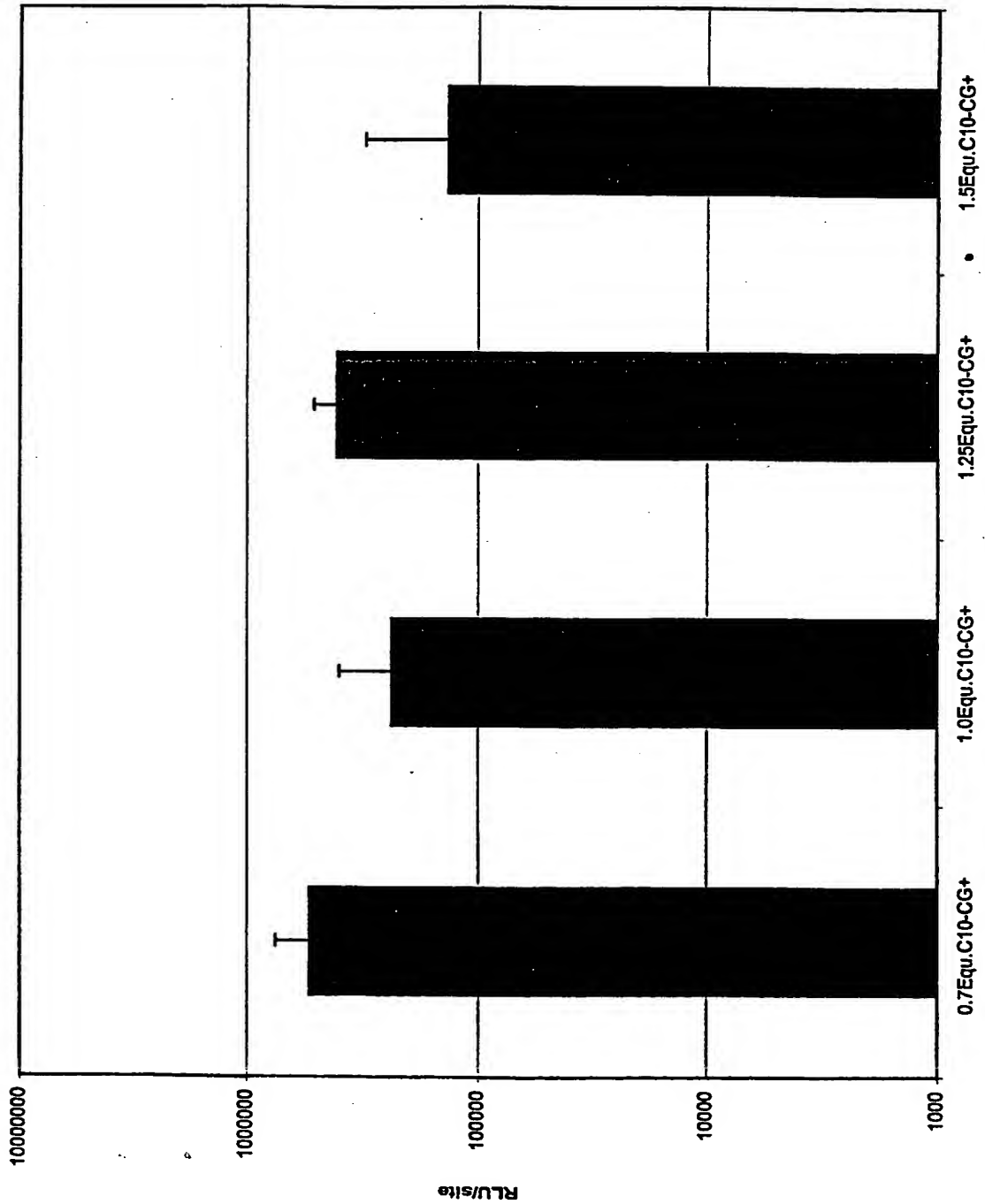
30/34

Fig. 26



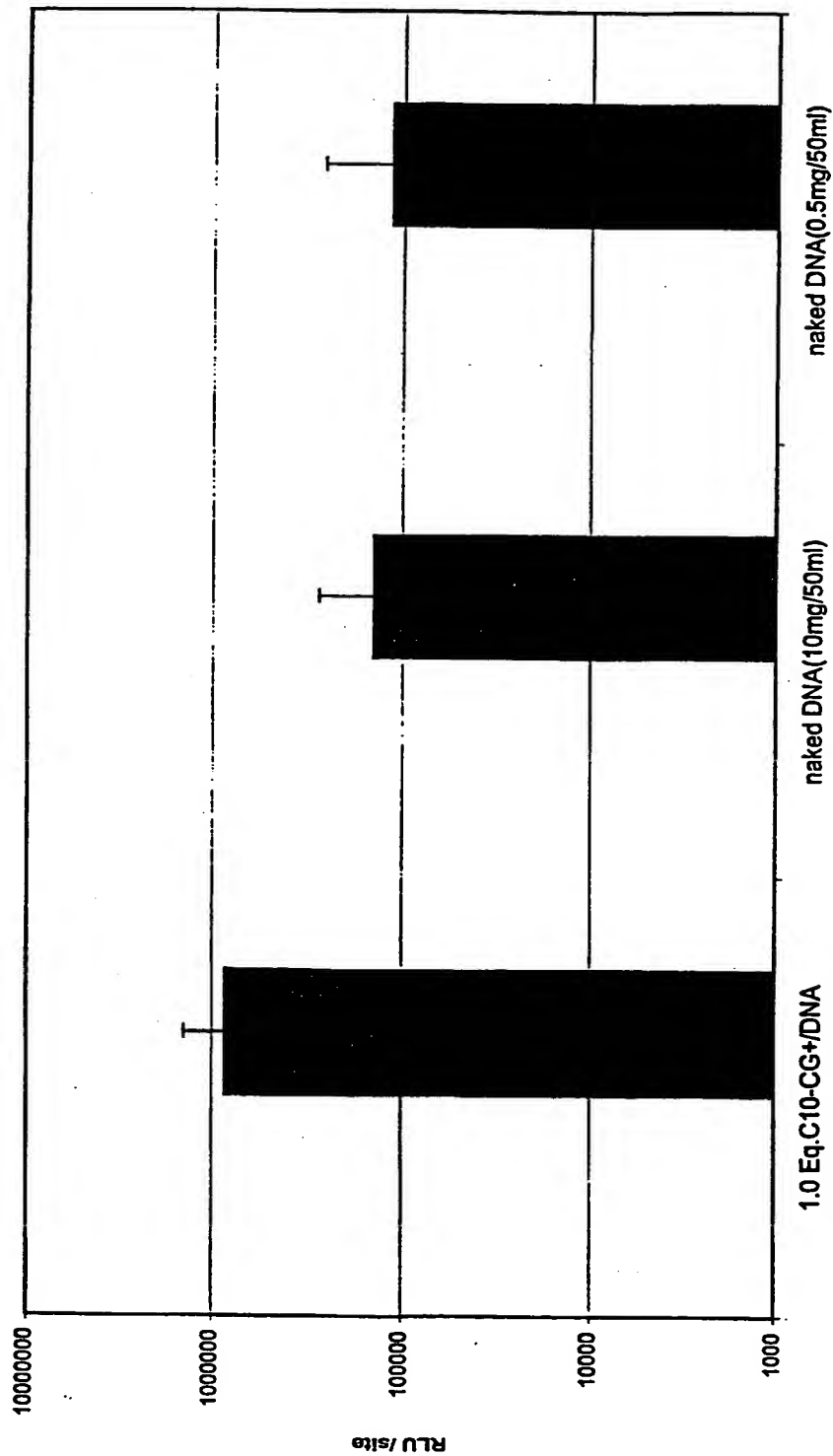
31/34

Fig. 27



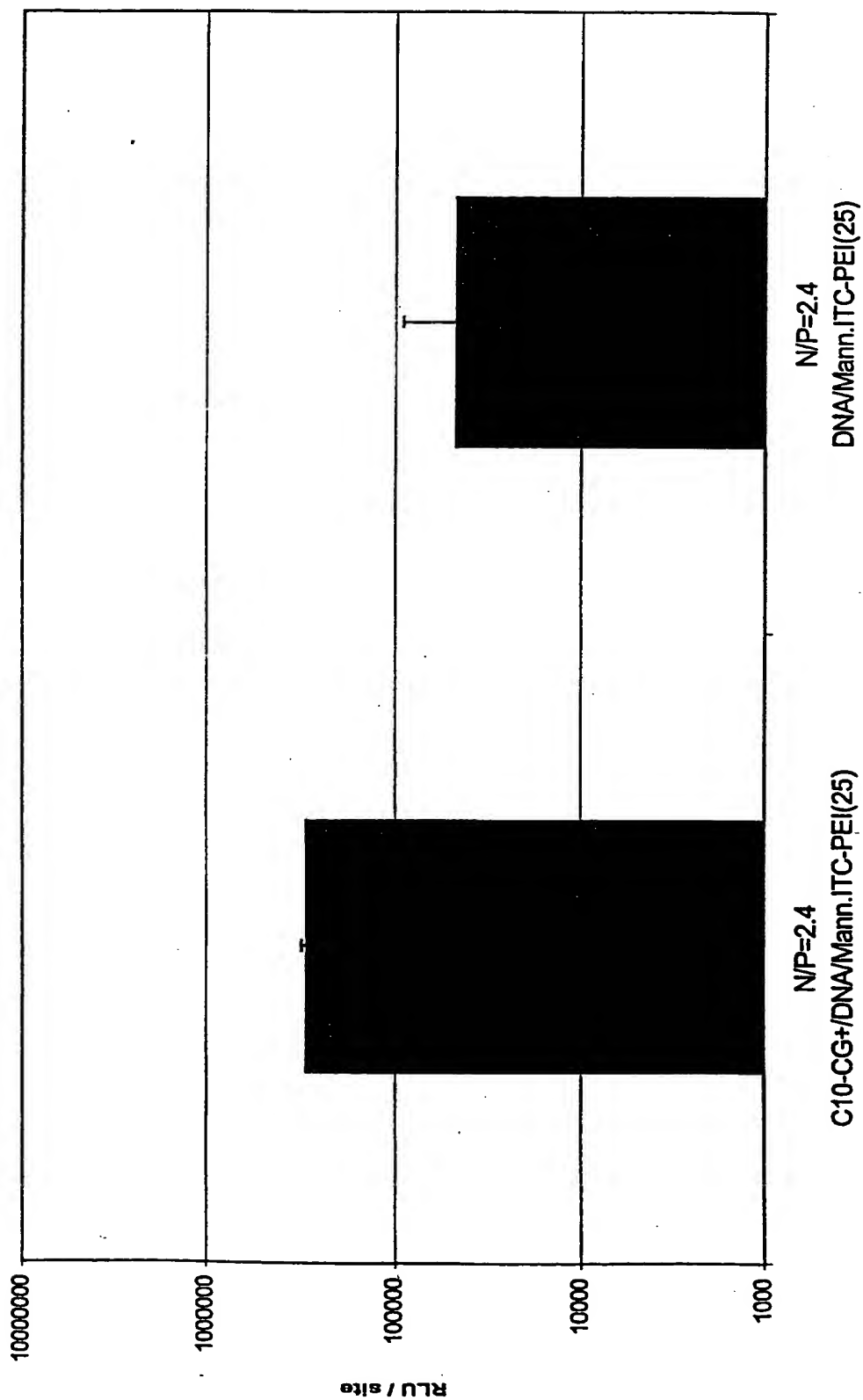
32/34

Fig. 28



33/34

Fig. 29



34/34
Fig. 30

